

## МИКРОСФЕРУЛЫ АЛЮМОСИЛИКАТНЫХ СТЕКОЛ В ЗОЛОТЫХ РУДАХ

© 2003 г. М. И. Новгородова\*, Г. Н. Гамянин\*\*, Ю. Я. Жданов\*\*,  
А. А. Агаханов\*, Т. В. Дикая\*

\*Минералогический музей им. А. Е. Ферсмана РАН  
117071 Москва, Ленинский просп., 18, корп 2.

\*\*Институт геологии алмаза и благородных металлов СО РАН  
677891 Якутск, просп. Ленина, 39

Поступила в редакцию 16.05.2001 г.

В рудах золото-кварцевых и золото-кварц-сульфидных месторождений Неждинское, Келлям (Якутия), Демократ (Аляска), Кокпата (Узбекистан) обнаружены и изучены микросферулы алюмосиликатных стекол с широким разбросом в содержаниях петрогенных компонентов и включениями стекла в стекле, подчеркивающими дискретность их состава. Их образование связывается с мицровзрывными кавитационными явлениями в потоке вскипающих гетерогенизирующихся гидротермальных растворов.

Минеральные микросферулы, или шарики, самородных металлов (железа, золота, меди, цинка, кадмия и др.), оксидов (магнетита и поцита), силикатов, сульфидов и сульфосолей, обнаруженные в последние годы [1], рассматривались обычно как морфологические редкости или даже минералогические курьезы. Причины их образования трактовались по-разному. Для тех, что находились в россыпях, доказывалось космогенное происхождение, а для обнаруженных в рудах, прошедших механическую обработку в процессе дробления проб и выделения тяжелых фракций, – техногенное происхождение [2]. В тех редких случаях, когда удавалось найти минеральные микросферулы непосредственно в породах, оказывалось, что они свободно располагаются внутри мелких полостей, пустых или заполненных рыхлым минеральным веществом, представленным водосодержащими филосиликатами (диккит, гидрослюды). Проведенные в свое время исследования шариков самородного цинка из пустот в гранитоидах [3] показали высокую вероятность их роста по механизму ПЖК (пар–жидкость–кристалл), т.е. кристаллизацию их из капель металлического расплава, формирующегося из легко летучих соединений цинка в составе постмагматических флюидов с низким окислительным потенциалом. Низкая температура плавления металлического цинка ( $T_{\text{пл}}^{\circ}$  419.5) не исключала такое предположение.

Проблема возникла, когда в мезотермальных золоторудных месторождениях, руды и околоврудные метасоматиты которых формировались в среднетемпературных гидротермальных условиях, среди минеральных микросферул постоянно обнаруживались шарики тугоплавких металлов и

алюмосиликатных стекол. Загрязнение исследуемого материала космогенным или техногенным веществом исключалось по условиям отбора проб на глубинах до 700 м от поверхности и по итогам специально выполненных экспериментов [4]. Соответственно, вставал вопрос о том, связано ли появление в рудах гидротермального генезиса микросферул тугоплавких минеральных веществ с возникновением капель расплавов, и если да, то что явилось причиной резких флюктуаций температур. На первом этапе работы были сконцентрированы на исследовании микросферул алюмосиликатных стекол.

### ФИЗИКО-ХИМИЧЕСКИЕ УСЛОВИЯ ОБРАЗОВАНИЯ ЗОЛОТО-КВАРЦЕВЫХ РУД

Объектом исследования служили микросферулы алюмосиликатных стекол из золоторудных месторождений Неждинское, Келлям (Якутия), Демократ (Аляска), Кокпата (Узбекистан). Малосульфидные золото-кварцевые и золото-кварц-сульфидные руды этих месторождений жильного и прожилково-вкрашенного типа располагаются в углеродистых терригенных песчано-сланцевых (Неждинское, Келлям) или осадочно-вулканогенных (Кокпата) толщах, метаморфизованных в фации зеленых сланцев. Золото-кварцевое месторождение Демократ на Аляске локализовано в жильных зонах среди метасоматически измененных березитизированных гранодиоритов с участками грейзенов. Вблизи контакта с золото-кварцевыми жилами с редкой вкрапленностью асценопирита и висмутовых сульфосолей вмещают

**Таблица 1.** Химический состав (мас. %) гидрослюды и диккита из друзовых пустот с регенерированным кварцем (Нежданинское месторождение)

Минерал	Место взятия	SiO <sub>2</sub>	Al <sub>2</sub> O <sub>3</sub>	Fe <sub>2</sub> O <sub>3</sub>	MgO	CaO	Na <sub>2</sub> O	K <sub>2</sub> O	H <sub>2</sub> O	Сумма
Гидрослюда	рудная зона 1, +1100 м	50.60	35.20	—	1.47	—	—	5.64	5.89	98.80
	рудная зона 1, +700 м	50.75	40.81	0.15	0.20	—	—	3.77	4.81	100.49
	жила № 6, +900 м	49.26	36.03	0.37	1.53	—	0.17	4.98	6.57	99.01
	жильная зона 76, +600 м	49.31	38.90	0.22	1.21	—	0.19	2.53	6.67	99.03
Диккит	рудная зона 32, +1100 м	47.42	38.38	0.64	—	1.46	—	—	12.32	100.22
	рудная зона 8, +800 м	47.55	37.55	0.49	0.24	2.35	—	—	11.36	99.59
	рудная зона 1, +100 м	48.34	39.01	0.25	—	0.12	—	—	12.43	100.15

ющие породы турмалинизированы. В брекчийных по текстуре кварцевых жилах обломки турмалинитов сцепментированы кварцем. Месторождение Демократ по типу золото-кварцевого оруденения сходно с Ключевским месторождением в Забайкалье.

Рудные тела в своем размещении контролируются региональными надвигами и глубинными разломами и их пересечениями.

Для рассматриваемых месторождений Якутии и Средней Азии характерно полиэтапное формирование руд, сопровождаемое внедрением внутрирудных даек лампрофиров и диорит-порфиров.

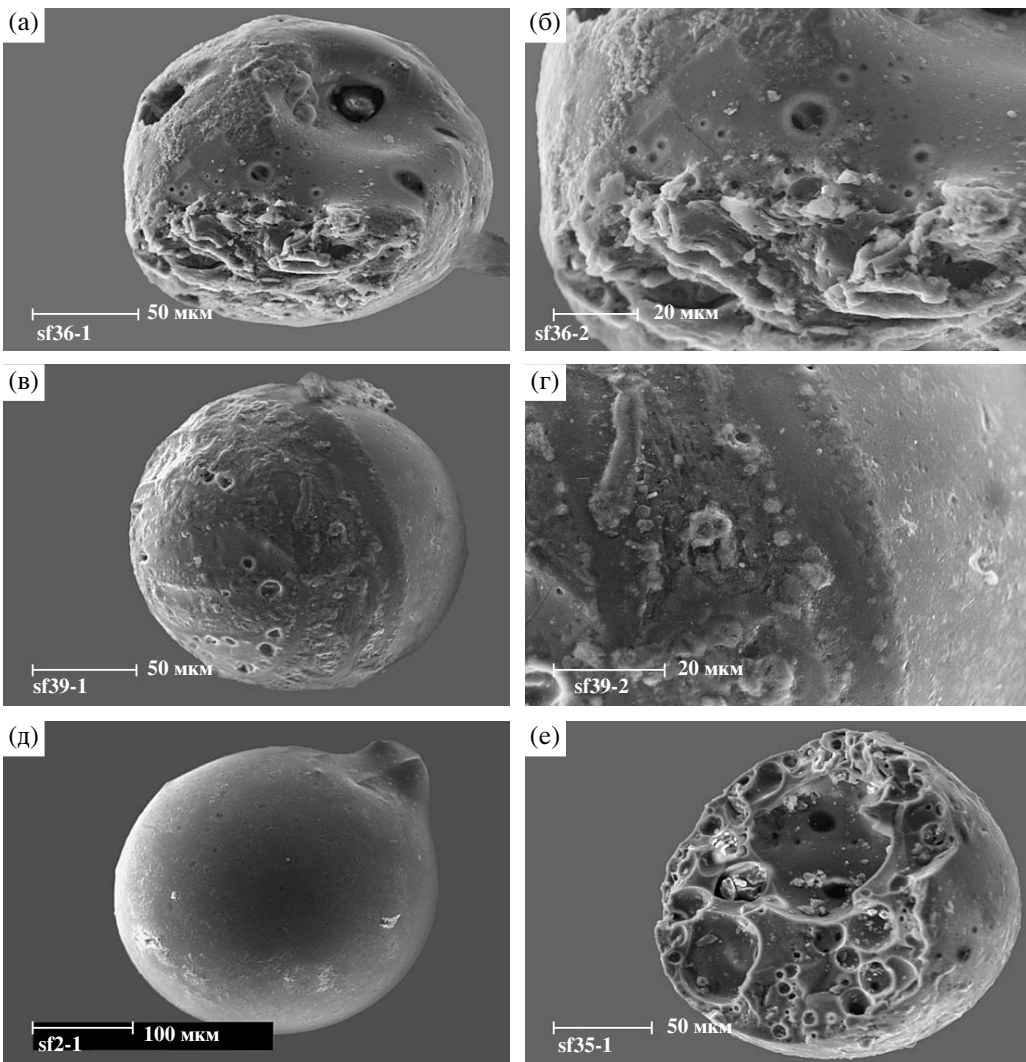
При сходной для всех рассматриваемых месторождений последовательности формирования рудной минерализации от раннего комплекса слабо золотоносных пирит-арсенопиритовых ассоциаций к поздним продуктивным ассоциациям с кварцем и сульфидами Pb, Ag, Sb, Cu, они различаются по количественным соотношениям вкрапленной и жильной минерализации в балансе руд. Основную промышленную ценность для Кокпатаусского месторождения представляют вкрапленные и прожилково-вкрапленные руды, для других – жильные и прожилково-вкрапленные руды.

В золоторудных месторождениях, локализованных среди терригенных или осадочно-вулканогенных толщ, первый этап представлен гидротермально-метаморфогенными убого-золотоносными кварцевыми жилами с содержанием сульфидов <0.1%. Во второй этап происходит метасоматическое преобразование вмещающих толщ с образованием золотоносных березитов за счет существенной (до 15%) вкрапленности метакристаллов пирита и арсенопирита. Основная продуктивная минерализация сосредоточена в жильном материале, сложенном пирит-арсенопирит-кварцевой, халькопирит-сфалерит-галенитовой и тетраэдрит-сульфоантимонитовой золотоносными ассоциациями. Третий этап связан с наложением на рудные тела двух предыдущих этапов молодого серебро-полиметаллического или сурьмяного оруденения, что сопровождается интенсивной коррозией, выщелачиванием и регенерацией ранних минералов.

На примере детально исследованного Нежданинского месторождения установлено, что руды были образованы при  $T^{\circ}\text{C}$  175–360,  $P$  1.2–1.7 кбар при участии флюидов средней солености с  $\text{H}_2\text{O} > \text{CO}_2 > \text{CH}_4 = \text{N}_2 > \text{H}_2\text{S}$ , гетерогенизированных на две фазы – жидкую водно-углекислотную с  $\text{N}_2$ ,  $\text{CH}_4$ , растворенными хлоридами и газообразную с преобладающими  $\text{CO}_2$  и  $\text{CH}_4$  [5]. Исследования состава стабильных изотопов привели к выводу о смешанном источнике флюидов, к магматогенной составляющей которых добавлялись компоненты, заимствованные из вмещающих пород, и метеорные воды [5].

## УСЛОВИЯ НАХОЖДЕНИЯ И МОРФОЛОГИЯ МИКРОСФЕРУЛ АЛЮМОСИЛИКАТНЫХ СТЕКОЛ

Микросферулы стекол помимо тонких фракций из протолочек рудных проб были обнаружены непосредственно в образцах внутри мелких пустот в раннем кварце, нередко в зальбандах кварцевых прожилков на границе с метаморфизованными глинистыми сланцами. Характерной особенностью таких пустот на месторождении Нежданинское являются тонкопылеватые налеты углеродистого вещества и слюдистых минералов на стенках пустот и на всех минеральных образованиях внутри. Нередко такие пустоты почти целиком заполнены тонкочешуйчатой смесью гидрослюд и диккита, для которых был определен химический состав (табл. 1). Стенки пустот инкрустированы дружами регенерированного длиннопризматического кварца, а на месторождении Демократ – помимо кварца, также щетками игольчатого турмалина и карбонатов. На Нежданинском месторождении в рыхлой массе глинистых минералов помимо микросферул алюмосиликатного состава были обнаружены шарики графита и галенита, а также нитевидный кварц и тончайшие иголочки сульфосолей, легко пропаривающиеся вручную с помощью медной иглы под бинокуляром. Рост нитевидных и сферических минеральных образований происходил, очевидно,



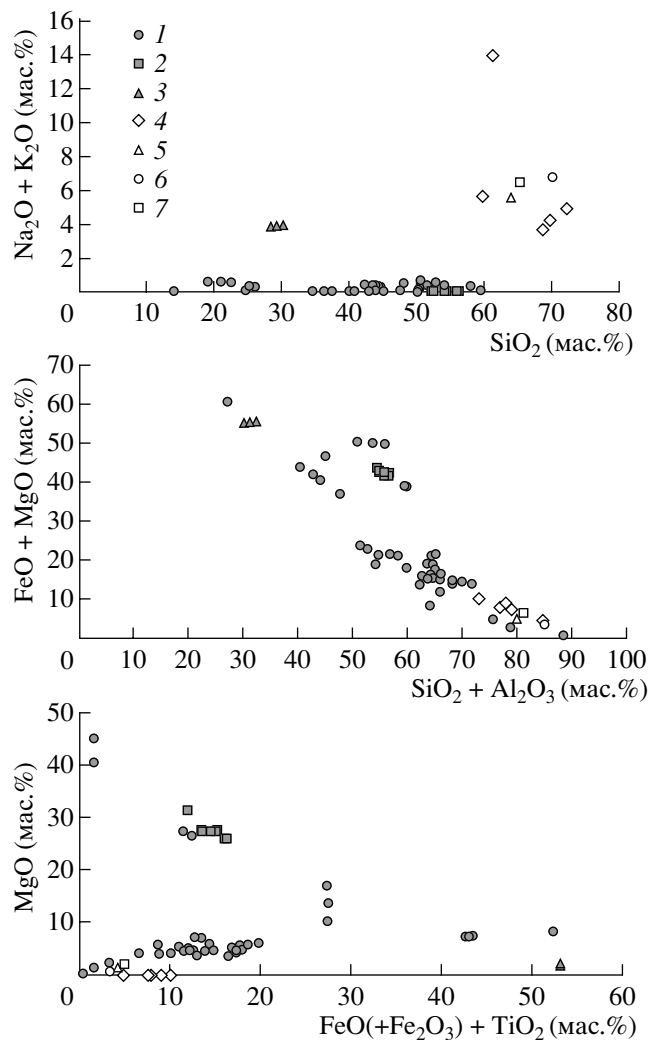
**Рис. 1.** Микросферулы алюмосиликатного стекла. СЭМ  
а, б – со сглаженно-увалистой поверхностью и вростками гидрослюды (Нежданинское);  
в, г – с газовыми камерами и налетами солей (Нежданинское);  
д – с блестящей поверхностью (Демократ);  
е – с газовыми камерами и солями на их стенках (Демократ).

в свободном пространстве, впоследствии частично или полностью заполненном рыхлыми водосодержащими глинистыми минералами.

Размер микросферул алюмосиликатных стекол не превышает 0.15 мм, чаще составляет менее 0.10 мм.

В Нежданинском месторождении большинство стекловидных микросферул имеет идеально шаровидную форму с гладкой блестящей поверхностью; стекла бесцветные, дымчато-серые прозрачные и полупрозрачные. Небольшие искажения шаровидной формы обусловлены тонкими наростами и плавными углублениями неровных очертаний, со сталактитовидными наростами на поверхности микросферул (рис. 1а, 1б). В прозрач-

ных сферидах при 100-кратных увеличениях наблюдались газовые пузырьки. Число и размеры газовых камер разнообразны; единичные камеры могут занимать до 3/4 площади среза микросферулы. Чаще присутствуют разноразмерные камеры. Стенки газовых камер имеют пупырчато-сталактитовидную поверхность. Во включениях в самом стекле наблюдались мельчайшие неправильной формы обломки кварца; в одном из них микрозондовым рентгеноспектральным анализом определены включения галенита. В алюмосиликатных микросферулах темно-серого цвета (месторождение Демократ) диагностированы округлые включения иоцита с небольшой примесью Ст и металлического железа.



**Рис. 2.** Вариационные диаграммы составов алюмосиликатных стекол (по данным табл. 2):

1 – месторождение Нежданинское, 2 – Демократ, 3 – Келлям, 4 – Кокпатаас, 5 – вмещающие алевролиты, Нежданинское, 6 – вмещающие песчаники, Нежданинское, 7 – гранодиорит, среднее по Дели.

В рудах месторождения Келлям стекловатые микросферулы встречались не так часто, как на Нежданинском. Обнаруженные шарики стекла имели темно-бурый цвет, шагреневую поверхность с газовыми камерами и налетами солей (рис. 1в, 1г). Для месторождения Демократ характерны овальные, сфероидальные и более сложной конфигурации стекловидные микросферулы (рис. 1д) ярко-зеленого цвета. Они отличаются обилием сообщающихся разноразмерных газовых пустот (рис. 1е), что придает им внешнее сходство с пузырчатыми лавами.

Постоянно обнаруживаемые на поверхности стекловатых микросферул тончайшие налеты и скопления солей по данным энергодисперсионно-

го анализа содержат в своем составе K, Ca, Fe с лигандами Cl, S, P (хлориды, сульфаты, фосфаты) (рис. 2а, 2д).

### ХИМИЧЕСКИЙ СОСТАВ СТЕКЛОВИДНЫХ МИКРОСФЕРУЛ

Все стекловидные микросферулы по данным рентгеноструктурных анализов рентгеноаморфны, т.е. действительно представлены стеклами.

По химическому составу (табл. 2) они отличаются от пород, вмещающих золото-кварцевые руды, уменьшением содержаний  $\text{SiO}_2$  и щелочей; относительно высокие содержания  $\text{SiO}_2$  и щелочей установлены для алюмосиликатных микросферул месторождения Кокпатаас (рис. 2). При широких вариациях состава, особенно характерных для микросферул Нежданинского месторождения, большая часть анализов не соответствует известным составам каких-либо магматических пород, что хорошо видно на классификационной диаграмме  $\text{SiO}_2 - (\text{Na}_2\text{O} + \text{K}_2\text{O})$  (рис. 2). Для высоко-магнезиальных стекол характерна обратная зависимость содержаний  $\text{MgO}$  и  $(\text{FeO} + \text{Fe}_2\text{O}_3 + \text{TiO}_2)$  в отличие от большинства анализов с прямо пропорциональным увеличением в составе стекол содержаний фемических компонентов (рис. 2).

Стекла характеризуются широкими вариациями в содержаниях  $\text{SiO}_2$ ,  $\text{Al}_2\text{O}_3$ ,  $\text{CaO}$ ,  $\text{MgO}$ ,  $\text{FeO}$  и дискретностью состава. Различия в составе центральной и краевой частей микросферул незначительны (табл. 2, ан. 2–3, 4–5, 18–19), тогда как состав одной микросферулы от другой, выделенных из одной и той же пробы, отличается по содержаниям  $\text{SiO}_2$  существенно (табл. 2, ан. 30–32). Выявлена внутренняя неоднородность состава микросферул с включениями стекла в стекле. Включения отличаются пониженными содержаниями  $\text{SiO}_2$  и представлены дискретными составами с высокими содержаниями  $\text{Al}_2\text{O}_3$  и  $\text{FeO}$  (табл. 2, ан. 7, 13–15);  $\text{Al}_2\text{O}_3$ ,  $\text{FeO}$  и  $\text{MgO}$  (табл. 2, ан. 36, 37);  $\text{FeO}$  и  $\text{MgO}$  с пониженным  $\text{Al}_2\text{O}_3$  (табл. 2, ан. 34);  $\text{Al}_2\text{O}_3$  и  $\text{CaO}$  (табл. 2, ан. 24). Часть включений и некоторые микросферулы в целом с относительно пониженными содержаниями  $\text{FeO}$  люминесцируют (голубое свечение) под электронным пучком микрозонда.

В отличие от микросферул Нежданинского месторождения алюмосиликатные стекла других месторождений более однородны по составу. Для Кокпатаасского месторождения характерны стекла, наиболее обогащенные щелочами (рис. 2). Существенная концентрация  $\text{K}_2\text{O}$  (до 4%),  $\text{MgO}$  и  $\text{FeO}$  свойственна стеклам месторождения Келлям, тогда как алюмосиликатные стекла месторождения Демократ на Аляске, стабильные по содержаниям  $\text{SiO}_2$ , с высокими концентрациями  $\text{MgO}$  и

$\text{FeO}$ , не содержат щелочей и характеризуются низкими содержаниями  $\text{Al}_2\text{O}_3$ .

Среди алюмосиликатных микросферул обнаружены микросферулы мономинерального состава. Для Нежданинского месторождения они представлены стеклами почти чистого  $\text{SiO}_2$  (98.69–99.02%) и хорошо рассчитываемым на формулу  $(\text{Mg}_{1.4}\text{Fe}_{0.4}\text{Al}_{0.2})_2(\text{Si}_{1.9}\text{Al}_{0.1})_2\text{O}_6$  пироксеном типа энстатит-бронзита с повышенным глиноземом. На аналогичную формулу пироксена ( $\text{Mg}_{1.4}\text{Fe}_{0.6})_2\text{Si}_2\text{O}_6$ ) рассчитываются все изученные стекла месторождения Демократ.

Как показывают результаты исследований с помощью сканирующего электронного микроскопа, помимо микросферул, алюмосиликатные стекла обнаруживаются в виде тонких фрагментарных пленок на поверхности микросферул рудных минералов. С помощью качественного энергодисперсионного анализа установлен состав таких пленок и неправильных наростов. Пленки железо-магнезиальных алюмосиликатных стекол обнаружены на поверхности микросферулы марганцовистого ильменита и антимонита (рис. 3); более сложный состав имеют нарости неправильной формы на поверхности микросферул того же ильменита (смесь алюмосиликатных стекол с солями K, Ca, Cu, Zn с Cl, S) или пирита (соли и стекла с катионным составом – Fe, Ca, K, Cu и анионным – Cl, S) (рис. 3).

Срастаний микросферул алюмосиликатных стекол с микросферулами рудных минералов не обнаружено.

## ГЕНЕТИЧЕСКАЯ МОДЕЛЬ ОБРАЗОВАНИЯ АЛЮМОСИЛИКАТНЫХ СТЕКОЛ

Полученные фактические данные об условиях нахождения алюмосиликатных стекол, морфология микросферул и их химическом составе сводятся к следующим положениям, имеющим значение для генетических построений.

1. Микросферулы алюмосиликатного стекла, обнаруживаемые в пустотах и трещинах жильного кварца из рудных зон рассматриваемых месторождений, характеризуются широким разбросом содержаний петrogenных компонентов и дискретностью состава, которая подчеркивается наличием включений стекла в стекле. Обнаружен эффект катодолюминесценции стекол.

2. Химический состав алюмосиликатных стекол не идентичен составу вмещающих оруденение измененных терригенных или магматических пород, что доказывает, что их образование не может быть прямым следствием плавления пород *in situ*.

3. Наличие многочисленных газовых полостей внутри микросферул алюмосиликатных стекол, внешне напоминающих вспененные лавы, указы-

вает на весьма существенную долю газовой фазы во флюидах.

Необходимыми условиями образования микросферул алюмосиликатных стекол являются высокие температуры и быстрые скорости охлаждения расплавленного вещества. Вероятность зарождения капель алюмосиликатных расплавов во флюидах гидротермальной рудообразующей системы определяется вероятностью гидродинамических возмущений в этой нестационарной системе с конвективным массообменом в трещинных зонах флюидопроводников. По Л.Н. Поспелову [6], течение макрообъемов флюидов сходно с турбулентным струйным течением, для которого характерны неупорядоченные сложные движения отдельных элементарных ячеек. Движущей силой конвективного транзита является градиент давления, величина которого по мере развития процесса минералогенеза меняется в зависимости от фазового расслоения флюида, появления газовых фаз в результате химических транспортных реакций и глубинных подтоков, взрывных и других явлений, определяющих барическую гетерогенность гидротермальной системы. Вероятность взрывов в макрообъемах очевидна из известных фактов присутствия на некоторых рудных месторождениях трубчатых и пластовых тел с брекчиями взрыва.

В локальных участках в потоке гетерогенизованных флюидов гидродинамические возмущения могут быть вызваны возникновением кавитационных явлений, на вероятность которых в природных процессах впервые обратил внимание Э.М. Галимов [7]. Лимитирующими параметрами кавитации (явлений, при котором происходит разрыв сплошности жидкости и обособление газовых пузырьков) являются скорость потока и градиент давления, соотношения величин которых определяют безразмерное число кавитации:

$$\chi = 2(P_\infty - P_n)/\rho V_\infty^2, \quad (1)$$

где  $P_\infty$  и  $V_\infty$  – давление и скорость набегающего потока,  $\rho$  – массовая плотность раствора,  $P_n$  – давление насыщенного пара жидкости. Кавитация возможна при  $\chi \leq 1$ , а степень ее развития тем больше, чем ниже величина  $\chi$ . Подставляя в уравнение согласно [8]  $P_\infty$  100 МПа,  $P_n$  22.12 МПа для воды при 375°C,  $\rho$  1000 кг/м<sup>3</sup> для гидротермальных растворов, получим, что для начала кавитации при заданных условиях требуются критические скорости потока, равные 7.9 м/сек.

Движение фильтрующихся гидротермальных растворов при градиентах давления в системах со свободной конвекцией 0.5–1.0 МПа, а с вынужденной конвекцией до 10 МПа [8] подчиняется закону Стокса:

$$V = -(K/\mu)\text{grad} p, \quad (2)$$

**Таблица 2.** Химический состав (мас. %) алюмосиликатных стекол по данным микрозондовых анализов

Номер п/п	Номер образца	SiO <sub>2</sub>	TiO <sub>2</sub>	Al <sub>2</sub> O <sub>3</sub>	Cr <sub>2</sub> O <sub>3</sub>	FeO	CaO	MgO	MnO	Na <sub>2</sub> O	K <sub>2</sub> O	Сумма
1.	18–14	59.37	1.90	12.84	0.02	9.22	10.80	4.26	0.20	0.04	0.16	98.81
2.	18–2	47.97	8.18	12.02	0.03	11.66	11.22	6.01	0.12	0.30	0.13	97.63
3.	18–2 край	50.48	2.17	14.16	0.05	10.65	11.80	5.12	0.04	0.15	0.15	94.77
4.	18–3 центр	48.00	1.56	15.69	0.02	11.90	12.41	7.12	0.21	0.36	0.12	97.40
5.	18–3 край	50.35	1.37	14.37	0.05	11.51	11.80	7.22	0.13	0.39	0.15	97.34
6.	18–3	51.42	3.25	13.73	0.03	11.07	11.56	6.15	0.16	0.27	0.14	97.80
7.	18–3 вкл.	43.87	1.14	20.43	0.31	16.49	9.29	4.70	0.05	0.32	0.24	96.85
8.	18–5	50.47	2.23	13.84	0.05	8.81	11.77	5.71	0.08	0.70	0.27	93.92
9.	35	54.71	1.41	8.32	0.00	10.49	11.27	4.79	0.01	0.00	0.00	91.00
10.	35	55.70	1.36	7.09	0.00	11.03	10.04	4.86	0.01	0.00	0.00	90.09
11.	18–8	57.97	2.98	10.54	0.08	10.06	10.51	3.92	0.04	0.26	0.18	96.54
12.	18–8	53.87	2.03	10.79	0.06	10.21	11.08	4.88	0.04	0.37	0.20	93.26
13.	18–8 вкл	22.90	0.25	33.16	0.08	42.60	1.76	7.13	0.02	0.40	0.13	108.44
14.	18–8 вкл	19.33	0.20	31.78	0.07	43.20	1.82	7.30	0.03	0.45	0.14	104.33
15.	18–8 вкл.	21.12	0.23	32.47	0.08	42.90	1.79	7.22	0.02	0.43	0.13	106.39
16.	34	50.28	2.48	13.77	0.00	4.02	18.23	3.90	0.01	0.00	0.00	92.69
17.	34 люм. вкл	50.02	1.18	25.54	0.00	1.91	15.10	2.31	0.00	0.00	0.00	96.06
18.	18–1	45.16	4.22	20.75	0.09	10.10	11.53	4.65	0.08	0.39	0.22	97.18
19.	18–1 край	44.29	5.04	19.41	0.13	9.78	11.36	4.60	0.06	0.25	0.22	95.17
20.	37	44.47	1.90	25.65	0.00	9.63	8.53	4.64	0.00	0.00	0.00	94.82
21.	37 центр	43.93	2.28	24.58	0.00	9.90	8.26	4.80	0.00	0.00	0.00	93.75
22.	18–13 центр	42.34	1.10	22.72	0.05	17.06	9.75	4.60	0.04	0.37	0.27	98.30
23.	38	43.50	2.41	22.74	0.14	11.51	10.34	4.54	0.03	0.33	0.24	95.49
24.	38 люм. вкл	40.44	1.16	25.65	0.00	7.61	13.67	3.81	0.01	0.00	0.00	92.35
25.	34 люм.	47.66	0.40	30.89	0.00	1.08	14.60	1.45	0.01	0.00	0.00	96.08
26.	18–11	49.82	0.00	38.59	0.04	0.32	0.03	0.31	0.02	0.02	4.34	93.50
27.	18–17	45.04	0.00	0.27	0.36	1.47	0.02	45.10	0.05	0.00	0.01	92.33
28.	18–17 вкл.	42.96	0.01	0.09	0.07	1.41	0.01	40.72	0.02	0.00	0.00	85.28
29.	36	40.00	1.16	18.10	0.00	16.23	13.00	4.50	0.01	0.00	0.00	93.00
30.	32	37.13	0.85	15.77	0.00	16.91	18.31	5.77	0.00	0.00	0.00	94.75
31.	32	34.79	0.91	16.79	0.00	17.66	17.24	5.80	0.00	0.00	0.00	93.19
32.	32	40.78	1.04	16.14	0.00	15.78	14.19	5.28	0.00	0.00	0.00	93.21
33.	32	37.86	1.06	16.95	0.00	16.35	16.70	5.02	0.00	0.00	0.00	93.93
34.	32 вкл.	14.37	0.25	13.00	0.00	52.14	6.10	8.34	0.00	0.00	0.00	94.20
35.	33 край	36.58	1.35	17.93	0.00	15.15	20.76	3.73	0.00	0.00	0.00	95.50
36.	33 вкл.	24.84	1.01	23.05	0.00	26.62	12.16	10.40	0.00	0.00	0.00	98.12
37.	33 вкл.	25.38	0.51	18.78	0.02	27.00	14.38	13.60	0.10	0.21	0.01	99.85
38.	18–16	25.92	0.02	14.50	0.02	27.32	16.59	16.81	0.19	0.21	0.01	101.58
39.	18	52.44	0.74	9.78	0.00	7.87	14.50	5.66	0.04	0.00	0.56	91.59
40.	26	55.10	0.00	4.65	0.00	11.37	1.01	27.64	0.24	0.00	0.00	100.00
41.	26–1	53.60	0.14	5.82	0.00	12.33	1.27	26.77	0.00	0.00	0.00	100.00
42.	6–1	53.87	0.00	3.03	0.00	15.98	0.87	26.20	0.13	0.00	0.00	100.09
43.	6–2	52.71	0.00	2.61	0.00	16.08	0.86	26.10	0.10	0.00	0.00	98.41
44.	6–3	54.76	0.00	0.00	0.00	11.94	0.61	31.50	0.00	0.00	0.00	98.79

Таблица 2. Окончание

Номер п/п	Номер образца	SiO <sub>2</sub>	TiO <sub>2</sub>	Al <sub>2</sub> O <sub>3</sub>	Cr <sub>2</sub> O <sub>3</sub>	FeO	CaO	MgO	MnO	Na <sub>2</sub> O	K <sub>2</sub> O	Сумма
45.	6-4	55.87	0.00	0.82	0.00	13.42	0.87	27.80	0.00	0.00	0.00	98.82
46.	6-5	52.24	0.14	2.99	0.00	14.97	0.95	27.90	0.11	0.10	0.00	99.44
47.	6-6	52.56	0.16	2.60	0.00	14.98	0.98	27.70	0.10	0.12	0.00	99.17
48.	6-7	55.63	0.00	0.35	0.00	13.70	0.54	27.70	0.12	0.00	0.00	98.08
49.	6-8	53.95	0.15	2.07	0.00	14.44	0.81	27.80	0.11	0.11	0.00	98.97
50.	1-1	28.43	0.00	1.90	0.00	53.22	3.83	1.93	0.00	0.00	3.93	93.24
51.	1-2	30.30	0.00	2.15	0.00	53.17	3.89	2.27	0.00	0.00	3.96	95.74
52.	1-3	29.37	0.00	2.03	0.00	53.20	3.86	2.10	0.00	0.00	3.95	94.49
53.	УЗ-1	59.70	0.00	13.27	0.00	10.00	0.22	0.00	0.00	4.33	1.34	88.86
54.	УЗ-2	68.68	0.00	8.47	0.00	7.89	0.07	0.00	0.00	1.81	1.90	88.82
55.	УЗ-3	72.15	0.00	12.68	0.00	4.71	0.31	0.00	0.00	3.49	1.46	94.80
56.	УЗ-4	69.58	0.00	8.51	0.00	9.01	0.20	0.00	0.00	2.67	1.58	91.55
57.	УЗ-5	61.35	0.00	17.56	0.00	7.54	0.45	0.00	0.00	6.85	7.16	100.91
58.	Н-п1	64.28	0.69	15.70	0.00	3.43	0.00	1.03	0.08	2.39	3.25	90.85
59.	Н-п2	70.00	0.58	15.05	0.00	2.72	0.00	0.89	0.07	5.56	1.20	96.07
60.		65.05	0.56	15.94	0.00	4.39	4.42	1.91	0.07	3.70	2.75	98.79
61.		57.95	0.57	13.39	0.00	5.55	5.89	2.65	0.00	1.13	2.86	99.93

Примечание. Анализы (1–41) – Нежданинское месторождение (Якутия); (42–49) – месторождение Демократ (Аляска); (50–52) – месторождение Келлям (Якутия); (53–57) – месторождение Кокпатас (Узбекистан); 58 – вмещающие измененные алевролиты, Нежданинское месторождение, кроме того P<sub>2</sub>O<sub>5</sub> 0.18–0.36, SO<sub>3</sub> 0.07–0.08, п.п. 0.27–4,16; 59 – вмещающие измененные песчаники, месторождение Нежданинское, кроме того P<sub>2</sub>O<sub>5</sub> 0.33, SO<sub>3</sub> 0.33, п.п. 3.42; 60 – гранодиорит, среднее по Дэли, кроме того H<sub>2</sub>O 1.04, P<sub>2</sub>O<sub>5</sub> 0.20; 61 – осадочные породы, среднее по кларку, кроме того, H<sub>2</sub>O 3.23; P<sub>2</sub>O<sub>5</sub> 0.13; CO<sub>2</sub> 5.38; SO<sub>3</sub> 0.54, C – 0.66, BaO 1.00.

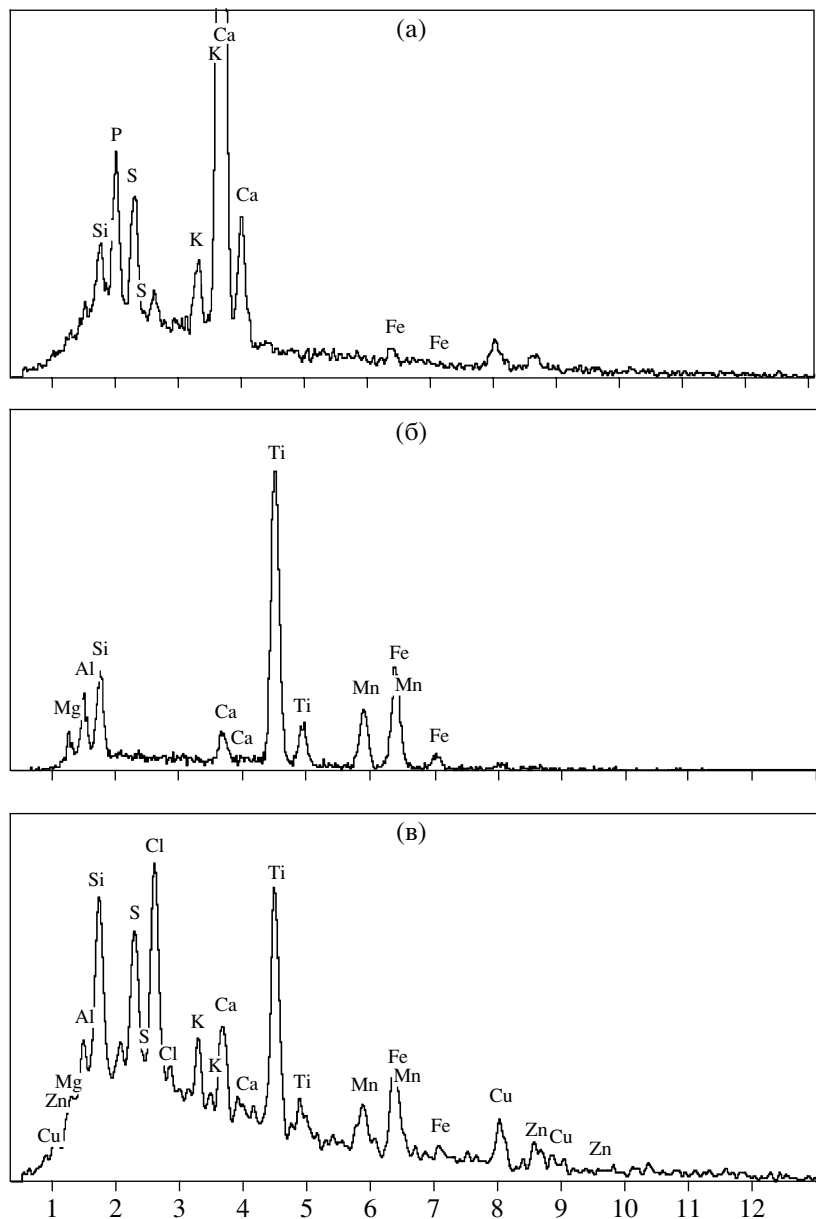
где  $K$  – проницаемость пород,  $\mu$  – вязкость флюида с характеристическим значением  $1.2 \times 10^4$  Па с [8].

Приблизительные оценки проницаемости горных пород в их естественном залегании составляют  $10^{-14}$ – $10^{-16}$  м<sup>2</sup>с [8], что определяет скорость фильтрации растворов в соответствии с уравнением (2) равной 0.01 м/сек. Указанная скорость медленного просачивания растворов в объеме горных пород резко увеличивается в свободном пространстве приоткрываемых тектонических трещин либо мгновенно заполняющихся трещин гидроразрыва. По расчетам У. Файфа с соавторами [9], скорость истечения воды по вертикальной открытой трещине диаметром 10 см при градиенте давления 1250 бар составляет 80000 м/сек.

По заключению авторов работы [9] полученная величина невероятно высока, хотя и указывает на то, что открытые трещины под влиянием градиента напряжения во флюиде будут заполнены раствором почти мгновенно. Для наших целей важно установленное У. Файфом с соавторами [9] резкое увеличение скорости движения гидротермального раствора при переходе от режима их медленного просачивания по капиллярам и порам

во вмещающей породе к мгновенному заполнению трещин, приоткрываемых при тектонических подвижках.

Если принять скорость потоков по трещинным зонам в периоды их раскрытия, близкую к 10 м/с, то число кавитации составит соответственно 0.25, что означает высокую вероятность возникновения кавитационных явлений. Кавитационные явления [10], т.е. разрыв сплошности жидкости с обособлением газовых пузырьков, имеют локальный и пульсационный характер. Их возникновение определяется локальным градиентом давления и облегчается наличием в растворе кавитационных зародышей: твердых частиц, микроскопических газовых пузырьков, плохо смачиваемых участков поверхности обтекаемого тела, твердых частиц с абсорбированным газом и др. Понижение давления возникает в участках расширения путей движения растворов вследствие искривления флюидоподводящих трещин, вблизи выступов их стенок и вокруг обломков вмещающих пород. Расширение и сжатие (схлопывание) газовых пузырьков внутри жидкости регулируется соотношением давления жидкости в потоке (или гидростатического



**Рис. 3.** Энергодисперсионные спектры состава пленок на поверхности микросферул – алюмосиликатного стекла (а, д), марганцовистого ильменита (б, в), пирита (г), антимонита (е). Месторождение Келлям.

давления) и давления насыщенного пара этой жидкости. Критическое давление может быть рассчитано из формулы [10]:

$$P_{kp} = P_h - \frac{2}{3\sqrt{3}} \left( \frac{2\sigma}{R_0} \right) \left[ 1 + \left( P_0 - P_h \right) \frac{R_0}{R} \right]^{-1/2}, \quad (3)$$

где  $P_0$  – равновесное внешнее давление (1000 МПа),  $P_h$  – давление насыщенного пара воды (22.06 МПа),  $\sigma$  – поверхностное натяжение воды ( $58.89 \times 10^{-3}$  Н/м),  $R_0$  – радиус расширяющегося пузырька газа,  $R$  – радиус пузырька газа после расширения ( $R_0/R = 0.1$ ).

Решая это уравнение получим величину  $P_{kp} = 22.05$  МПа, очень близкую к давлению насыщенного пара жидкости. Для упрощения расчеты выполнены для чистой воды, однако полученный результат (лишь ненамного меньшая величина  $P_{kp}$  по отношению к величине давления насыщенного пара) применим к любым водно-солевым растворам, поскольку при любых значениях  $\sigma$  и  $P_h$  математическая величина за минусом в правой части уравнения (3) будет всегда очень мала (<1). Если предположить адиабатическое изменение

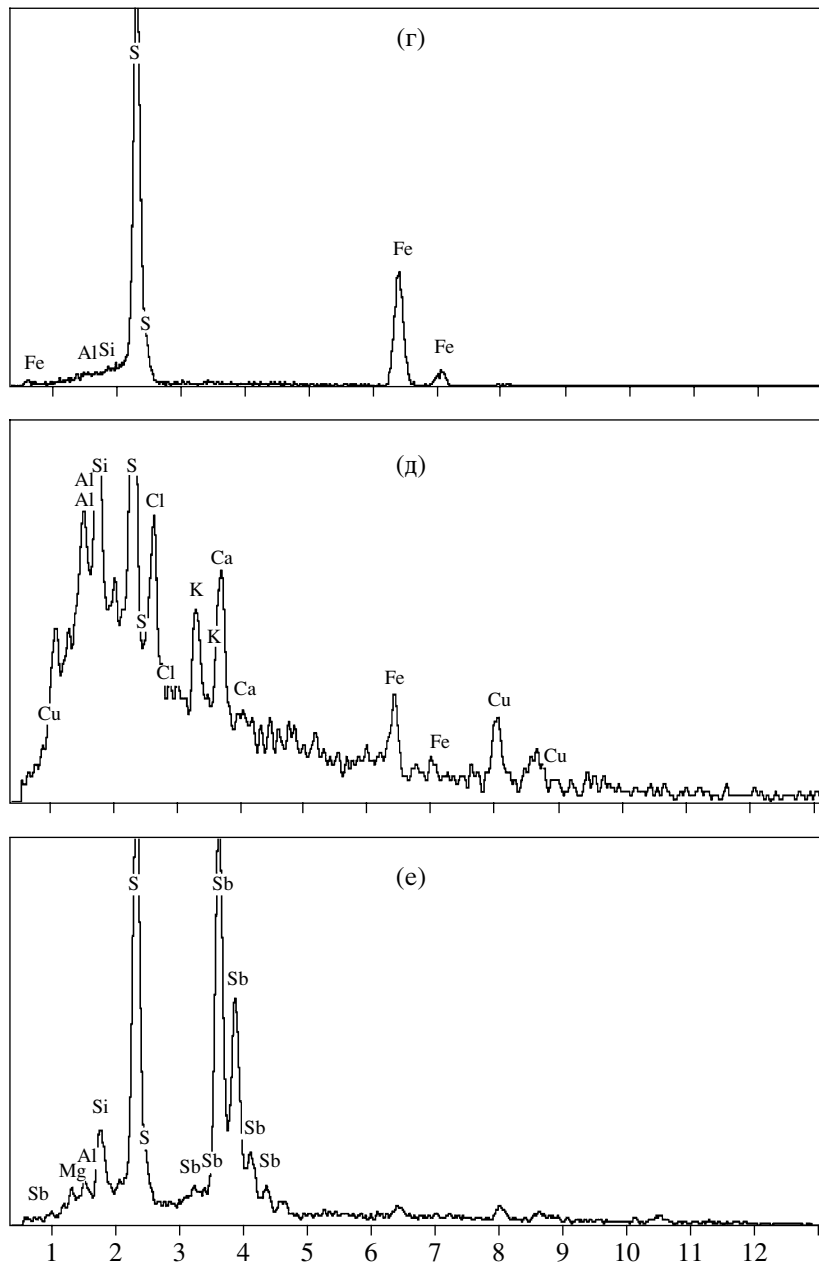


Рис. 3. Окончание.

объема газового пузырька, то, используя уравнение Пуассона:

$$PV^\gamma = P_1 V_1^\gamma, \quad (4)$$

где  $P$  – внешнее давление (1000 бар),  $P_1$  – давление пара жидкости (22.06 МПа),  $V$  – первоначальный объем газового пузырька 1 микрон,  $\gamma$  – коэффициент адиабатичности, равный 1.4 для двухатомного газа, то можно рассчитать увеличение объема пузырька газа при давлении. Расчеты показывают, что в условиях адиабатичности процесса при падении давления до величины давления на-

сыщенного пара воды пузырек водяного пара будет увеличен в 17 раз.

В потоке поступающего гидротермального флюида в поле переменного давления процесс отклоняется от адиабатичности. При условии  $P < P_{kp}$  пузырьки газа способны к неограниченному росту, при  $P > P_{kp}$  происходит их резкое сокращение. Процесс носит пульсационный характер и сопровождается целым рядом побочных эффектов, в том числе акустической кавитацией, дополняющей, вследствие возникновения звукового давления в широком спектре частот (кавитационный

шум), барическую гетерогенность газово-жидкой среды кавитации.

Высокие скорости сокращения кавитационного пузырька приводят к аномально высоким локальным флюктуациям температур и давлений [10]. В применении к природным процессам из этого вытекают следующие следствия.

Одно из них связано с так называемой кавитационной эрозией, брекчирующей и разрушающей стенки каналов с образованием каверн, заполненных газовыми пузырьками. Не исключено, что кавернозная поверхность стенок пустот в кварце, являющихся местами скопления шариков алюмосиликатного стекла, имеет кавитационную природу. Чисто химическое растворение кварца в ламинарном либо турбулентном потоке раствора должно выразиться в образовании сглаженных "обсосанных леденцовых" форм, а в застойных водах на поверхности кварца при его растворении обычно четко видны закономерно ориентированные ямки и каналы растворения.

Другое следствие заключается в нарушении в кавитационной области плотностной однородности жидкой водно-солевой фазы. Как показывают результаты экспериментов по гидротермальному росту кристаллов в условиях градиентов температур и давлений [11], при резком сбросе давления с взрывообразной скоростью ( $10^{-6}$  сек.) из раствора выделяются коллоидно-дисперсные микроглобулярные агрегаты твердого вещества; в качестве типичного примера приводится образование вспененного кремнезема в форме агрегата мелких пузырей [11].

Третье следствие связано с вероятностью возникновения в кавитационной области микровзрывных явлений, приводящих к диспергированию и локальному разогреву вещества. При больших скоростях сжатия газ нагревается до температуры  $\sim 10^4$  К, а давление в пузырьке возрастает до нескольких сотен МПа [10]. Мощные гидродинамические возмущения в кавитационной области сопровождаются микровзрывами, частичной ионизацией газа и сильным разогревом вещества вплоть до его плавления.

Таким образом, гидротермальный раствор, проникая с высокой скоростью в область пониженных относительно гидростатического давлений, в условиях адиабатичности гетерогенизируется с выделением газовых пузырьков, высокоплотных солевых фаз с остаточной жидкой фазой. Дополнительным изменением состояния раствора является понижение температуры, которое можно рассчитать по уравнению Пуассона:

$$T^\gamma P^{1-\gamma} = T_1^\gamma P_1^{1-\gamma}, \quad (5)$$

где  $T$  – температура поступающего гидротермального раствора ( $300^\circ\text{C}$ ),  $T_1$  – температура, возникающая в адиабатической камере,  $P$  – равн-

весное внешнее давление (1000 бар),  $P_1$  – давление насыщенного пара жидкости (22.06 МПа),  $\gamma$  – коэффициент адиабаты (1.4). Расчеты показывают, что при принятых параметрах  $T_1 = 195^\circ\text{C}$ .

Газовые пузырьки скапливаются вблизи искривлений стенок флюидоподводящей трещины. При подтоке флюида условие адиабатичности нарушается, и в микрообластях скоплений пузырьков вследствие явлений кавитации происходят циклические изменения объема пузырьков с их расширением и сокращением. Аномально высокие флюктуации температур и давлений, возникающие при схлопывании пузырьков, характеризуются высокими скоростями и незначительным радиусом действия. Если в пределах этого аномального микрополя находятся тонкодисперсная взвесь твердых частиц или скоплений солевых фаз, то они плавятся и мгновенно закаливаются в окружающем растворе с пониженной температурой.

Вероятность подобной модели подтверждается, казалось бы, парадоксальными фактами нахождения микросферул алюмосиликатного стекла (индикаторов ранее возникших капель расплавов) среди низкотемпературных минеральных агрегатов – тонкочешуйчатых диккита и гидрослюды.

Природные алюмосиликатные стекла отличаются, как было показано выше, широким разбросом и дискретностью в содержаниях химических компонентов, что свидетельствует о неуравновешенности и гетерогенности составов, возникающих при микровзрывах и плавлении высокоплотных солевых фаз. Вследствие высоких скоростей кавитационных явлений в ограниченных объемах минерализующихся трещин, эти явления не отражаются на составе газово-жидких включений в минералах, образованных в условиях обычного гидротермального роста.

## ВЫВОДЫ

1. Микросферулы алюмосиликатного стекла характеризуются широким разбросом и дискретностью в содержаниях петрогенных элементов, обедненных относительно вмещающих золотые руды пород кремнекислотой, щелочами и обогащенных фемическими компонентами.

2. На поверхности микросферул обнаружены присыпки и вrostки солей Ca, Cu, Zn, Fe с лигандаами, содержащими S, Cl, P, C, а также тонкодисперсный гидрослюдистый и глинистый материал. Большинство изученных микросферул содержит многочисленные газовые вакуоли. Пленки алюмосиликатных стекол в смеси с солями обнаружены на поверхности микросферул рудных минералов.

3. Условия локализации микросферул алюмосиликатного стекла в пустотах и трещинах раннего кварца однотипны для золотых руд четырех

месторождений (Нежданинское, Келлям, Демократ, Кокпатас).

4. Образование микросферул алюмосиликатных стекол связывается с локальными микровзрывами кавитационными эффектами в потоке гетерогенизирующихся гидротермальных растворов.

*Работа выполнена при финансовой поддержке РФФИ – грант № 00-05-64709.*

#### СПИСОК ЛИТЕРАТУРЫ

1. Жданов Ю.Я., Гамянин Г.Н., Яковлев Я.В. Сферидалное золото из рудопроявления Келлям (Верхне-Индигирский район, Якутия) // В кн.: Золотое оруденение и гранитоидный магматизм Северной Пацифики. Магадан, 2000. Т. 1. С. 246–250.
2. Dilabio R.N.W., Newsome J.W., McIvor D.F., Lowenstein P.L. The spheroid form of gold: man-made or secondary? // Econ. Geol. 1988. V. 83. P. 153–162.
3. Новгородова М.И., Боярская Р.В., Юсупов Р.Г. Рост и коррозия самородного цинка в газовой среде // Зап. Всесоюз. минер. о-ва. 1986. Ч. 115. Вып. 1. С. 16–25.
4. Гамянин Г.Н., Жданов Ю.Я., Моисеенко В.Г. Природные и техногенные сфериоиды минералов // Тихоокеанская геология. 2000. Т. 19. № 4. С. 52–60.
5. Бортников Н.С., Гамянин Г.Н., Аллатов В.А. и др. Минералого-геохимические особенности и условия образования Нежданинского месторождения золота (Саха-Якутия, Россия) // Геол. рудн. м-ний. 1998. Т. 40. № 2. С. 137–156.
6. Поспелов Г.Л. Парадоксы, геолого-физическая сущность и механизмы метасоматоза. Новосибирск: Наука, 1973. 355 с.
7. Галимов Э.М. Кавитация как механизм синтеза природных алмазов // Изв. АН СССР. Сер. геол., 1973. № 1. С. 22–37.
8. Пэк А.А. Гидродинамические модели гидротермальных рудообразующих систем // В кн.: Рудообразующие процессы и системы. М.: Наука, 1989. С. 68–78.
9. Файф У., Прайс Н., Томпсон А. Флюиды в земной коре. М.: Мир, 1981. 436 с.
10. Иванов А.Н. Гидродинамика развитых кавитационных течений. Л.: Наука, 1980.
11. Труфанов В.Н., Куршев С.А., Майский Ю.Г., Ушак А.Т. Рост кристаллов при высоких перепадах температур и давления // Морфология и фазовые равновесия минералов. София: Изд-во Болг. АН, 1986. С. 119–125.